

Кафедра 42
Криптология и дискретная математика

Тел. 324-7334; факс. 323-9137; e-mail: kaf42@mail.ru.



Атака на основе коллизий на AES-подобные алгоритмы блочного шифрования

Машошин С.Н.

Использованные материалы

Спецификации алгоритмов блочного шифрования:

1. AES
2. Square
3. CRYPTON
4. Anubis
5. W

Статья “A collision attack on 7 rounds of Rijndael”

Henri Gilbert, Marine Minier



AES

- размер блока 128 бит
- размер ключа 128\192\256 бит
- количество раундов 10\12\14

Преобразования, используемые внутри раунда:

- 1) SubBytes(S – блок)
- 2) ShiftRows (Перестановка)
- 3) MixColumns (Линейное рассеивание)
- 4) AddRoundKey(Добавление ключа)



Square

- размер блока 128 бит
- размер ключа 128 бит
- количество раундов 8

Преобразования, используемые внутри раунда:

- 1) A Linear Transformation (Линейное рассеивание)
- 2) A Nonlinear Transformation(S – блок)
- 3) A Byte Permutation (Перестановка)
- 4) Bitwise Round Key Addition (Добавление ключа)

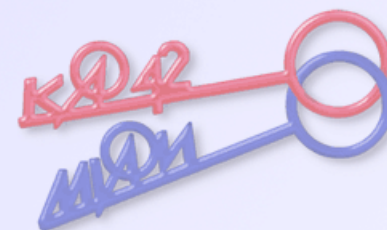


CRYPTON

- размер блока 128 бит
- размер ключа 128\192\256 бит
- количество раундов 12

Преобразования, используемые внутри раунда:

- 1) Byte Substitution (S – блок)
- 2) Bit Permutation (Линейное рассеивание)
- 3) Byte Transposition (Перестановка)
- 4) Key Addition (Добавление ключа)



Anubis

- размер блока 128 бит
- размер ключа $32N$ бит ($N = 4, \dots, 10$)
- количество раундов $8+N$

Преобразования, используемые внутри раунда:

- 1) The nonlinear layer (S – блок)
- 2) The transposition (Перестановка)
- 3) The linear diffusion layer (Линейное рассеивание)
- 4) The key addition (Добавление ключа)



W

- размер блока 512 бит
- размер ключа 512 бит
- количество раундов 10

Преобразования, используемые внутри раунда:

- 1) The nonlinear layer (S – блок)
- 2) The cyclical permutation (Перестановка)
- 3) The linear diffusion layer (Линейное рассеивание)
- 4) The key addition (Добавление ключа)



Коллизия в AES

y				z ₀				r ₀				s				t ₀			
c ₀				z ₁				r ₁								t ₁			
c ₁				z ₂					r ₂							t ₂			
c ₂				z ₃						r ₃						t ₃			

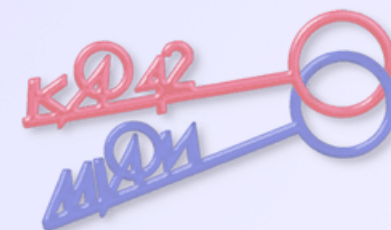
- 1) существует два различных набора (c₀, c₁, c₂), для которых s(y) равны при всех значениях y
- 2) $s = SB^{-1} (MC^{-1} (t_0, t_1, t_2, t_3) + k)$, где SB – SubBytes (S – блок), MC – MixColumns (линейное рассеивание)



Коллизия в Square

y				z ₀				r ₀	r ₁	r ₂	r ₃	s				t ₀				
c ₀				z ₁													t ₁			
c ₁				z ₂													t ₂			
c ₂				z ₃													t ₃			

- 1) существует два различных набора (c₀, c₁, c₂), для которых s(y) равны при всех значениях y
- 2) $s = NT^{-1} (LT^{-1} (t_0, t_1, t_2, t_3) + k)$, где NT - A Nonlinear Transformation (S – блок), LT - A Linear Transformation (линейное рассеивание)



Коллизия в CRYPTON

y	c ₀	c ₁	c ₂	z ₀	z ₁	z ₂	z ₃	r ₀				s					t ₀	t ₁	t ₂	t ₃	
								r ₁													
								r ₂													
								r ₃													

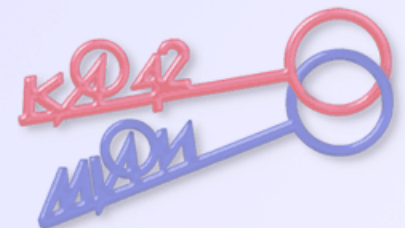
- 1) существует два различных набора (c₀, c₁, c₂), для которых s(y) равны при всех значениях y
- 2) $s = BS^{-1} (BP^{-1} (t_0, t_1, t_2, t_3) + k)$, где BS - Byte Substitution (S – блок), BP - Bit Permutation (линейное рассеивание)



Коллизия в Anubis

y	c ₀	c ₁	c ₂	z ₀	z ₁	z ₂	z ₃	r ₀				s					t ₀	t ₁	t ₂	t ₃	
								r ₁													
								r ₂													
								r ₃													

- 1) существует два различных набора (c₀, c₁, c₂), для которых s(y) равны при всех значениях y
- 2) $s = NL^{-1} (MC^{-1} (t_0, t_1, t_2, t_3) + k)$, где NL - The nonlinear layer (S – блок), LD - The linear diffusion layer (линейное рассеивание)



Коллизия в W

- строится аналогично AES
- существует два различных набора (c_0, c_1, c_2) , для которых $s(y)$ равны при всех значениях y
- $s = NL^{-1} (LD^{-1} (t_0, t_1, t_2, t_3, t_4, t_5, t_6, t_7) + k)$, где NL - the nonlinear layer (S – блок), LD - The linear diffusion layer (линейное рассеивание)



Атака на основе коллизий на AES

x_0			
	x_1		
		x_2	
			x_3

y			
c_0			
c_1			
c_2			

z_0			
z_1			
z_2			
z_3			

r_0			
	r_1		
		r_2	
			r_3

s			

t_0			
t_1			
t_2			
t_3			

$u_{0,0}$	$u_{0,1}$	$u_{0,2}$	$u_{0,3}$
$u_{1,0}$	$u_{1,1}$	$u_{1,2}$	$u_{1,3}$
$u_{2,0}$	$u_{2,1}$	$u_{2,2}$	$u_{2,3}$
$u_{3,0}$	$u_{3,1}$	$u_{3,2}$	$u_{3,3}$

$v_{0,0}$	$v_{0,1}$	$v_{0,2}$	$v_{0,3}$
$v_{1,0}$	$v_{1,1}$	$v_{1,2}$	$v_{1,3}$
$v_{2,0}$	$v_{2,1}$	$v_{2,2}$	$v_{2,3}$
$v_{3,0}$	$v_{3,1}$	$v_{3,2}$	$v_{3,3}$

- Трудоемкость атаки на 5,5 раундов - 2^{101} шифрований при наличии 2^{32} открытых текстов.
- Трудоемкость атаки на 6 раундов - 2^{117} шифрований при наличии 2^{32} открытых текстов.
- Трудоемкость атаки на 6,5 раундов - 2^{133} шифрований при наличии 2^{32} открытых текстов.



Атака на основе коллизий на Square

x_0	x_1	x_2	x_3

y			
c_0			
c_1			
c_2			

z_0			
z_1			
z_2			
z_3			

r_0	r_1	r_2	r_3

s			

t_0			
t_1			
t_2			
t_3			

$u_{0,0}$	$u_{0,1}$	$u_{0,2}$	$u_{0,3}$
$u_{1,0}$	$u_{1,1}$	$u_{1,2}$	$u_{1,3}$
$u_{2,0}$	$u_{2,1}$	$u_{2,2}$	$u_{2,3}$
$u_{3,0}$	$u_{3,1}$	$u_{3,3}$	$u_{3,3}$

- Трудоемкость атаки на 6 раундов - 2^{117} шифрований при наличии 2^{32} открытых текстов.



Атака на основе коллизий на Crypton

x_0			
x_1			
x_2			
x_3			

y	c_0	c_1	c_2

z_0	z_1	z_2	z_3

r_0			
r_1			
r_2			
r_3			

s			

t_0	t_1	t_2	t_3

$u_{0,0}$	$u_{0,1}$	$u_{0,2}$	$u_{0,3}$
$u_{1,0}$	$u_{1,1}$	$u_{1,2}$	$u_{1,3}$
$u_{2,0}$	$u_{2,1}$	$u_{2,2}$	$u_{2,3}$
$u_{3,0}$	$u_{3,1}$	$u_{3,3}$	$u_{3,3}$

$v_{0,0}$	$v_{0,1}$	$v_{0,2}$	$v_{0,3}$
$v_{1,0}$	$v_{1,1}$	$v_{1,2}$	$v_{1,3}$
$v_{2,0}$	$v_{2,1}$	$v_{2,2}$	$v_{2,3}$
$v_{3,0}$	$v_{3,1}$	$v_{3,3}$	$v_{3,3}$

- Трудоемкость атаки на 5,5 раундов - 2^{101} шифрований при наличии 2^{32} открытых текстов.
- Трудоемкость атаки на 6 раундов - 2^{117} шифрований при наличии 2^{32} открытых текстов.
- Трудоемкость атаки на 6,5 раундов - 2^{133} шифрований при наличии 2^{32} открытых текстов.



Атака на основе коллизий на Anubis

x_0			
x_1			
x_2			
x_3			

y	c_0	c_1	c_2

z_0	z_1	z_2	z_3

r_0			
r_1			
r_2			
r_3			

s			

t_0	t_1	t_2	t_3

$u_{0,0}$	$u_{0,1}$	$u_{0,2}$	$u_{0,3}$
$u_{1,0}$	$u_{1,1}$	$u_{1,2}$	$u_{1,3}$
$u_{2,0}$	$u_{2,1}$	$u_{2,2}$	$u_{2,3}$
$u_{3,0}$	$u_{3,1}$	$u_{3,3}$	$u_{3,3}$

$v_{0,0}$	$v_{0,1}$	$v_{0,2}$	$v_{0,3}$
$v_{1,0}$	$v_{1,1}$	$v_{1,2}$	$v_{1,3}$
$v_{2,0}$	$v_{2,1}$	$v_{2,2}$	$v_{2,3}$
$v_{3,0}$	$v_{3,1}$	$v_{3,3}$	$v_{3,3}$

- Трудоемкость атаки на 5,5 раундов - 2^{101} шифрований при наличии 2^{32} открытых текстов.
- Трудоемкость атаки на 6 раундов - 2^{117} шифрований при наличии 2^{32} открытых текстов.
- Трудоемкость атаки на 6,5 раундов - 2^{133} шифрований при наличии 2^{32} открытых текстов.



Атака на основе коллизий на W

Строится аналогично атаке на AES

- Трудоемкость атаки на 5,5 раундов – 2^{325} шифрований при наличии 2^{64} открытых текстов.
- Трудоемкость атаки на 6 раундов - 2^{357} шифрований при наличии 2^{64} открытых текстов.
- Трудоемкость атаки на 6,5 раундов – 2^{389} шифрований при наличии 2^{64} открытых текстов.



Рассмотрение зависимостей раундовых ключей AES

x_0				y			
	x_1			c_0			
		x_2		c_1			
			x_3	c_2			

t_0				$u_{0,0}$	$u_{0,1}$	$u_{0,2}$	$u_{0,3}$	$v_{0,0}$	$v_{0,1}$	$v_{0,2}$	$v_{0,3}$
t_1				$u_{1,0}$	$u_{1,1}$	$u_{1,2}$	$u_{1,3}$	$v_{1,0}$	$v_{1,1}$	$v_{1,2}$	$v_{1,3}$
t_2				$u_{2,0}$	$u_{2,1}$	$u_{2,2}$	$u_{2,3}$	$v_{2,0}$	$v_{2,1}$	$v_{2,2}$	$v_{2,3}$
t_3				$u_{3,0}$	$u_{3,1}$	$u_{3,2}$	$u_{3,3}$	$v_{3,0}$	$v_{3,1}$	$v_{3,2}$	$v_{3,3}$

- Трудоёмкость атаки без рассмотрения алгоритма развертывания ключа равна 2^{133} шифрований при наличии 2^{32} открытых текстов.
- Количество вариантов разбиения ключа в последнем раунде равно 3.
- Существует класс алгоритмов развертывания ключа, при которых возможно снижение трудоёмкости данной атаки до 2^{117} .
- Для простейших алгоритмов развертывания ключа, трудоёмкость атаки, возможно, понизить до 2^{101} .



Рассмотрение зависимостей раундовых ключей Square

x_0	x_1	x_2	x_3	y			
				c_0			
				c_1			
				c_2			

t_0				$u_{0,0}$	$u_{0,1}$	$u_{0,2}$	$u_{0,3}$
t_1				$u_{1,0}$	$u_{1,1}$	$u_{1,2}$	$u_{1,3}$
t_2				$u_{2,0}$	$u_{2,1}$	$u_{2,2}$	$u_{2,3}$
t_3				$u_{3,0}$	$u_{3,1}$	$u_{3,3}$	$u_{3,3}$

- Трудоёмкость атаки без рассмотрения алгоритма развертывания ключа равна 2^{117} шифрований при наличии 2^{32} открытых текстов.
- Количество вариантов разбиения ключа в последнем раунде равно 3.
- Для простейших алгоритмов развертывания ключа, трудоёмкость атаки, возможно, понизить до 2^{101} .



Рассмотрение зависимостей раундовых ключей CRYPTON

X_0				y	c_0	c_1	c_2
X_1							
X_2							
X_3							

t_0	t_1	t_2	t_3	$u_{0,0}$	$u_{0,1}$	$u_{0,2}$	$u_{0,3}$	$v_{0,0}$	$v_{0,1}$	$v_{0,2}$	$v_{0,3}$
				$u_{1,0}$	$u_{1,1}$	$u_{1,2}$	$u_{1,3}$	$v_{1,0}$	$v_{1,1}$	$v_{1,2}$	$v_{1,3}$
				$u_{2,0}$	$u_{2,1}$	$u_{2,2}$	$u_{2,3}$	$v_{2,0}$	$v_{2,1}$	$v_{2,2}$	$v_{2,3}$
				$u_{3,0}$	$u_{3,1}$	$u_{3,2}$	$u_{3,3}$	$v_{3,0}$	$v_{3,1}$	$v_{3,2}$	$v_{3,3}$

- Трудоёмкость атаки без рассмотрения алгоритма развертывания ключа равна 2^{133} шифрований при наличии 2^{32} открытых текстов.
- Количество вариантов разбиения ключа в последнем раунде равно 3.
- Существует класс алгоритмов развертывания ключа, при которых возможно снижение трудоёмкости данной атаки до 2^{117} .
- Для простейших алгоритмов развертывания ключа, трудоёмкость атаки, возможно, понизить до 2^{101} .



Рассмотрение зависимостей раундовых ключей Anubis

X_0				y	c_0	c_1	c_2
X_1							
X_2							
X_3							

t_0	t_1	t_2	t_3	$u_{0,0}$	$u_{0,1}$	$u_{0,2}$	$u_{0,3}$	$v_{0,0}$	$v_{0,1}$	$v_{0,2}$	$v_{0,3}$
				$u_{1,0}$	$u_{1,1}$	$u_{1,2}$	$u_{1,3}$	$v_{1,0}$	$v_{1,1}$	$v_{1,2}$	$v_{1,3}$
				$u_{2,0}$	$u_{2,1}$	$u_{2,2}$	$u_{2,3}$	$v_{2,0}$	$v_{2,1}$	$v_{2,2}$	$v_{2,3}$
				$u_{3,0}$	$u_{3,1}$	$u_{3,2}$	$u_{3,3}$	$v_{3,0}$	$v_{3,1}$	$v_{3,2}$	$v_{3,3}$

- Трудоёмкость атаки без рассмотрения алгоритма развертывания ключа равна 2^{133} шифрований при наличии 2^{32} открытых текстов.
- Количество вариантов разбиения ключа в последнем раунде равно 3.
- Существует класс алгоритмов развертывания ключа, при которых возможно снижение трудоёмкости данной атаки до 2^{117} .
- Для простейших алгоритмов развертывания ключа, трудоёмкость атаки, возможно, понизить до 2^{101} .



Рассмотрение зависимостей раундовых ключей W

Аналогично зависимостям алгоритма AES

- Трудоёмкость атаки без рассмотрения алгоритма развертывания ключа равна 2^{389} шифрований при наличии 2^{64} открытых текстов.
- Количество вариантов разбиения ключа в последнем раунде равно 35.
- Существует класс алгоритмов развертывания ключа, при которых возможно снижение трудоёмкости данной атаки до 2^{357} .
- Для простейших алгоритмов развертывания ключа, трудоёмкость атаки, возможно, понизить до 2^{325} .



Потенциальное применение атаки

Размер ключа, бит	Трудоемкость полного перебора ключа	Трудоемкость атаки
128	2^{128}	2^{133}
512	2^{512}	2^{389}
1024	2^{1024}	$\sim 2^{700}$



Спасибо за внимание.

